透水係数の異なる厚い砂層の液状化実験

愛媛大学 学生会員 〇川神 英彰 愛媛大学院 正会員 岡村 未対

1. はじめに

現在、液状化判定法として広く用いられている FL 法では排水の影響が考慮されておらず、加振中は非排水状態として考えられている。しかし、透水性の良い地盤に対して液状化判定を行う際に、非排水状態と仮定すると過度に安全側の判定になってしまう。本研究では、加振中の排水が厚い砂層の液状化挙動に及ぼす影響を調べるため、間隙流体の粘性を変えることにより透水係数を広範囲に変えた遠心模型実験を行った。また、過剰間隙水圧の消散を考慮した数値解析を行った。

2. 実験概要

本研究では、せん断土槽内に作成した一様な緩い飽和砂質土地盤の動的遠心実験を 50g 場にて行った。地盤は豊浦砂を空中落下法で作製した層厚 9m (模型寸法 18cm)、相対密度 45%の砂地盤であり、真空槽内で CO2 置換した後に-98kPa の負圧下で間隙流体を通水して飽和した。作成した地盤の飽和度 1)は 99.2%~99.9%であった。地盤中の図1に示す位置に加速度計と間隙水圧計を設置するとともに、地盤表面には地表面の沈下量分布を測定するために変位計を 3~5 箇所に設置した。間隙流体には水または粘性の異なるメチルセルロース水溶液を用い、透水係数の異なる 5 つの地盤を作製して実験を行った。実験条件を表 1 に原型スケールで示す。入力加速度は最大加速度が約100gal、振動数約0.5Hzの正弦波10波である。

3. 数値解析

加振中の過剰間隙水圧は,発生項と消散項の和で表すことができる。 発生項は非排水条件で過剰間隙水圧がある有効上載圧までに達する 時間で表すことができ,本研究では簡単に次式で表した。

$$\frac{\partial u_g}{\partial t} = \frac{\sigma'_{v0}}{N_1} \cdot \frac{N_{eq}}{t_d}$$

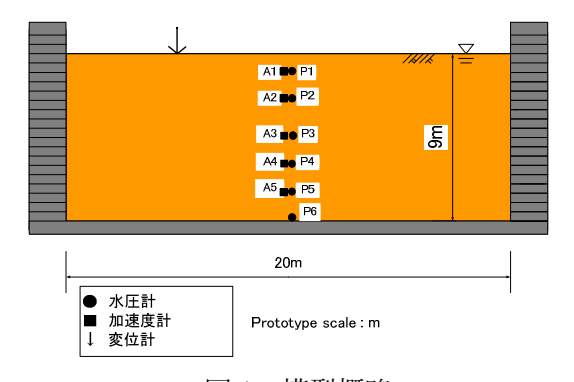


図1 模型概略

表 1 実験条件

ケース	相対密度	透水係数k	最大加速度
	Dr (%)	(m/s)	(gal)
1	46.1	8.7×10 ⁻³	106.9
2	46.3	2.5×10 ⁻³	119.1
3	46.2	8.6×10 ⁻⁴	123.8
4	44.8	1.7×10 ⁻⁴	128.3
5	44.5	4.3×10 ⁻⁵	132.3

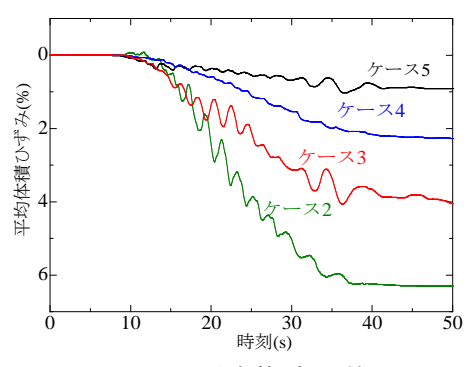


図2 平均体積ひずみ

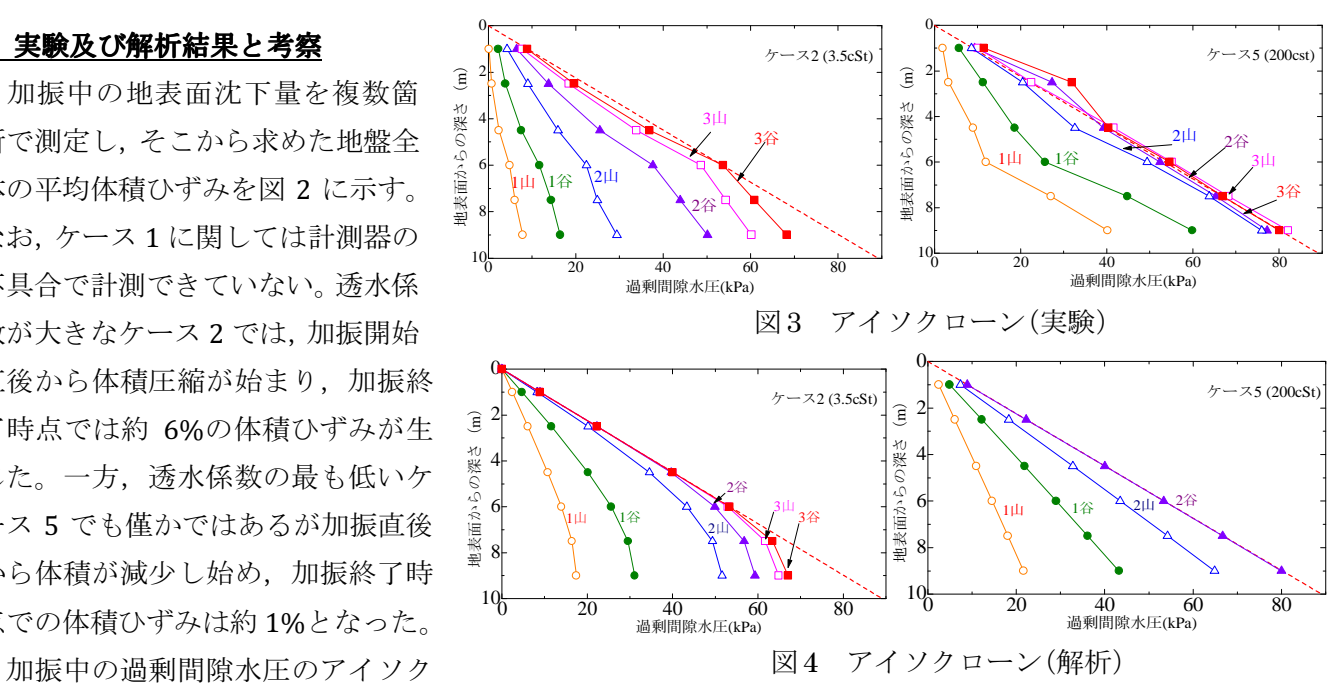
ここで、 u_g は過剰間隙水圧(発生)、 σ'_{v0} は有効上載圧、 N_1 は非排水状態で過剰間隙水圧比が 1 に達する回数、 N_{eq} は地震動による不規則なせん断波と等価な一定振幅のせん断応力波の繰返し回数、 t_d は地震動の継続時間である。消散項は Terzaghi の圧密方程式を用いた。

$$\frac{\partial u_d}{\partial t} = \frac{k}{m_n \gamma_w} \cdot \frac{\partial^2 u_d}{\partial z^2}$$

ここで、k は透水係数、 m_v は体積圧縮係数、 γ_w は水の単位体積重量である。本研究で最も透水係数の低い実験であるケース 5 の実験を非排水状態であると仮定し、測定した過剰間隙水圧が発生項の水圧と等しいものとして発生項をこの測定値に合うように N_{eq} =22、 t_d =25、 N_1 =4 とした。体積圧縮係数は圧密試験の除荷過程より m_v =4.72×10-5(m^2/kN)とした。

4. 実験及び解析結果と考察

加振中の地表面沈下量を複数箇 所で測定し、そこから求めた地盤全 体の平均体積ひずみを図2に示す。 なお、ケース1に関しては計測器の 不具合で計測できていない。透水係 数が大きなケース2では、加振開始 直後から体積圧縮が始まり, 加振終 了時点では約 6%の体積ひずみが生 じた。一方, 透水係数の最も低いケ ース 5 でも僅かではあるが加振直後 から体積が減少し始め, 加振終了時 点での体積ひずみは約1%となった。



厚(m)

化層

ローンの一例を図3に示す。なお図中の文字は入力加速度の波数を示し ている。透水係数の低いケース5では、入力加速度が2波目の山となっ た時点で最深部までの全層にわたって有効上載圧に達し液状化している。 一方,透水係数の高いケース2では,過剰間隙水圧の上昇がケース5よ りも遅く,3波目の谷の時点で地表から約6mまで液状化しているが,そ れ以深では液状化していないことがわかる。加振終了後の各深度におけ る液状化状態の継続時間から Okamura ら 2)に倣って液状化最深部の深度

を求めた。図5に液状化層厚と透水係数の関係を示す。透水係数が10-3

透水係数(m/s) 図 5 液状化層厚

10-3

 $mv = 4.72 \times 10$ $mv = 2.17 \times 10^{-5}$ $mv=2.17\times10^{-4}$

実験値

10-4

程度で液状化層厚が急激に減少し、10-2となるとこの加速度では地盤は液状化しなかった。

数値解析から求めた過剰間隙水圧のアイソクローンを図 4 に示す。解析での水圧上昇過程は実験結果とよ く対応したものとなっており、液状化する地盤の深度もほぼ一致している。図 5 に示す解析から求まった液 状化層厚と透水係数の関係は、実験結果とよく対応したものとなっている。これより地盤全体が液状化する 透水係数領域と地盤が全く液状化しなくなる透水係数領域、およびその中間領域に分けられ、中間領域の透 水係数の幅は約1オーダーであることがわかる。また、体積圧縮係数が小さくなるほど、図のプロットが左 にシフトしていくが、中間領域の幅はいずれもほぼ1オーダーであることがわかる。

5.まとめ

- 1) 透水係数が 10-4m/s 程度の地盤では、加振中の短時間内でも体積は一定でなく、排水が生じているこ とがわかった。また、均一な地盤においては地表面ほど液状化しやすく、透水係数が増加すると地盤底部で 液状化しにくくなり, 液状化層厚が減少する。
- 2) 本研究で行った層厚 9m の豊浦砂の実験では, 透水係数が約 10-3 から 10-2 の約 10 倍の範囲で液状化層厚 が急激に減少した。この液状化層厚が急変する透水係数の範囲は、体積圧縮係数が変化しても約10倍で変化 しない。10-2 以上の透水係数を持つ土は、レキに相当する。現行の液状化判定でレキを液状化土として分類 していることの妥当性がある程度裏付けられた。

参考文献

- 1) 岡村未対・来山博昭(2008): 遠心加速度を利用した飽和模型地盤の作製法と飽和度計測法に関する研究, 土木学会論文集, Vol.64, No.3, 662-671.
- 2) Okamura M., Abdoun T.H., Dobry R., Sharp M.K. and Taboada V.M.: Effects of sand permeability and weak aftershocks on earthquake-induced lateral spreading, SOILS AND FOUNDATIONS Vol. 41, No.6, 62-77, 2001.